

94-335



сообщения  
объединенного  
института  
ядерных  
исследований  
дубна

P4-94-335

Б.Н.Захарьев, А.И.Пашнев

ПРОЗРАЧНЫЕ ПОТЕНЦИАЛЬНЫЕ  
ВОЗМУЩЕНИЯ НА РЕШЕТКАХ  
И В ПЕРИОДИЧЕСКОМ ПОЛЕ.  
Элементы качественной теории  
движения волн по каналам

1994

”Если надо объяснять, то не надо объяснять,... а тут и объяснить нечего.”

А.Ахматова

(В науке, во всяком случае, все как раз наоборот; в жизни часто тоже).

## 1 ВВЕДЕНИЕ

Параллельно с обычной квантовой механикой с непрерывными координатами развивается и ее дискретный вариант, описывающий движение волн по решеткам. Конечно-разностное уравнение Шредингера используется для описания волн в кристаллах и может служить моделью для исследования распространения волн по решеткам дискретных переменных, например, нумерующих связанные каналы или смешиваемые конфигурации [1].

Глубже понять особенности квантовой физики позволяют точно решаемые модели. Многочисленные и обширные классы таких моделей в обычной квантовой механике получались с помощью методов факторизации [2], обратной задачи [3-6] и суперсимметрии [7-14]. Наряду с замкнутыми аналитическими формулами были получены ”квантовые картинки”, истолкование которых подняло на более высокий уровень нашу квантовую интуицию. Появилась возможность сформулировать основанные на точных моделях алгоритмы теории качественного ”управления” квантовыми системами : строить их с желаемыми спектрами и свойствами рассеяния, двигать отдельные уровни энергии, порождать их и уничтожать, менять локализацию связанных состояний, ширины резонансов, прозрачность мишеней [1-6].

Ряд точных моделей был построен и в дискретной квантовой механике [19-24]. Численные расчеты и использование аналогий с обычной квантовой механикой помогли понять некоторые особенности управления свойствами решеточных систем [1, 15-24].

Несколько месяцев назад одним из авторов (Б.В.) были разосланы письма специалистам по суперсимметричной квантовой механике с предложением найти безотражательные потенциалы для разностного уравнения Шредингера (и для разностных уравнений высших порядков  $N \geq 4$ ) или указать на соответствующие работы. После этого мы сами независимо нашли эти решения, а позднее узнали о подобных результатах, опубликованных раньше в [13].

В данной работе будет использован наш опыт построения алгоритмов качественного управления квантовыми системами для объяснения форм потен-

циалов, прозрачных для волн на решетке при любых значениях энергии из непрерывного спектра (в разрешенной зоне); мы укажем и на физические особенности таких потенциалов, чего не делалось раньше. Это позволит правильно качественно предсказывать результаты даже без использования формул и компьютеров. А использовать мы будем подход суперсимметричной квантовой механики (факторизацию гамильтонианов), как и в [13].

С одной стороны, по аналогии с непрерывным случаем, можно было ожидать солитнообразной формы прозрачного дискретного потенциала  $v(n)$ . Но локальный потенциал прогибает полосу разрешенного движения (в плоскости "E,n", см. рис.1) без

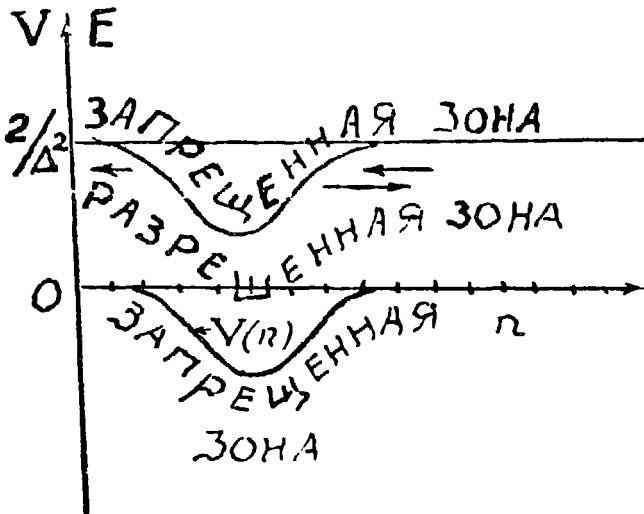


Рис.1. Разрешенная зона прогибается вместе с формой локального потенциала  $v(n)$ , не меняя своей ширины (для наглядности дискретные значения функций при целых  $n$  соединены сплошными линиями). Поэтому притягивающий потенциал тянет вниз и верхнюю границу разрешенной зоны в области своего действия, в результате чего в область непрерывного спектра спускается "барьер" запрещенной зоны, вызывающий отражение волн даже при солитнообразной форме ямы  $v(n)$

изменения ее ширины, так что притягивающая яма прогибается вниз верхнюю границу разрешенной зоны. Это создает эффективный барьер по прогибу верхней запрещенной зоны вниз, в разрешенную зону<sup>1</sup>. Кажется бы, это делает безнадежным построение прозрачной мишени. Найти выход здесь помогла интуиция, приобретенная в работах [23] по управлению спектрами в дискретной квантовой механике. Требуется, помимо  $v(n)$ , вводить связь функций в соседних дискретных точках – минимальную нелокальность (тридиагональность) потенциала. Значения потенциала на диагоналях, соседних с главной,

<sup>1</sup> Конечность ширины зоны непрерывного спектра связана с ограниченностью частоты колебаний решений на конечно-разностной решетке: например, с ростом энергии гармоника обычного непрерывного синуса неограниченно сжимается, а для "разностного синуса" предел сжатия задается шагом решетки [1]. Прогиб зоны можно понять так: для постоянного потенциала сдвигается вся зона, как при переносе точки отсчета энергии непрерывного спектра, поэтому для кусочно-постоянного (ступенчатого) потенциала получается ступенчатый прогиб, а общий случай получается со ступеньками произвольной длины.

мы будем обозначать  $u(n)$ :

$$-\frac{[\psi(n+1) - 2\psi(n) + \psi(n-1)]}{\Delta^2} + u(n+1)\psi(n+1) + u(n)\psi(n) + u(n)\psi(n-1) + v(n)\psi(n) = E\psi(n), \quad (1)$$

где  $\Delta$  - шаг разностного дифференцирования. Аргумент функции "u", стоящей коэффициентом при  $\psi(n-1)$ , не тот же "n-1", а n (смещенный на единицу) для эрмитовости гамильтониана. О необходимости введения нелокальности взаимодействия можно было догадаться и благодаря появлению в суперсимметричном подходе с непрерывной переменной в выражении для безотражательных потенциалов первой производной от вспомогательной функции, что в случае конечных разностей переходит в минимально нелокальный оператор. С помощью этих недиагональных потенциальных членов  $u(n)$  можно управлять шириной разрешенной зоны [1] (см. рис.2).

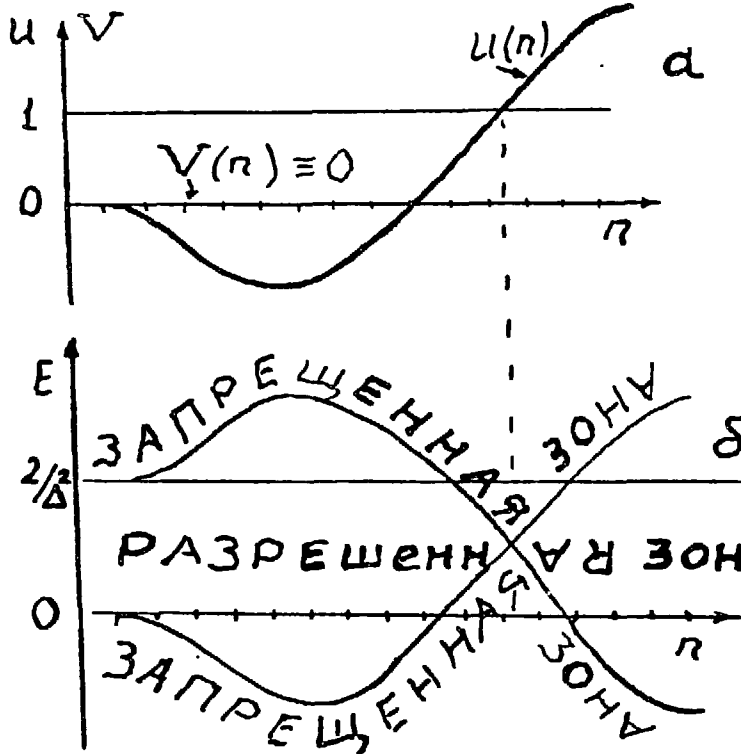


Рис.2. Изменение  $u(n)$  при  $v(n)=0$  (а) управляет шириной разрешенной зоны (б). Для наглядности дискретные значения функций при целых n соединены сплошными линиями, как и на рис. 1. При  $u=1$  зона "схлопывается" - сжимается до нулевой ширины, а при  $u > 1$  происходит даже инверсия спектра [1]

Это подобно введению переменного шага  $\Delta/[1-u(n)]$ . В частности, можно при введении солитонообразной ямы  $v(n)$  убрать свешивающийся сверху барьер, выравнивая верхнюю границу запрещенной зоны. Семейство таких прозрачных потенциалов, как и в непрерывном случае, зависит от  $2N$  непрерывных параметров: положений уровней энергии  $N$  связанных состояний и соответствующих нормировочных констант, определяющих положение основной локализации связанных состояний на оси n (см.[6] 1994). Можно еще построить

прозрачные потенциалы со связанными состояниями над (!) непрерывным спектром или с дискретными уровнями энергии как под, так и над разрешенной зоной.

После того как прозрачные возмущения на решетках были поняты, возник вопрос об объяснении безотражательных возмущений  $\Delta v(x)$  периодического поля. Подход обратной задачи давал локальные  $\Delta v(x)$ , а интуиция подсказывала необходимость нелокальных добавок, чтобы скомпенсировать эффективные барьеры при прогибах разрешенных зон. Выход из "тупика" оказался в том, что роль эффективной минимальной нелокальности взаимодействия здесь играют условия сшивания возмущенных решений на участках соседних периодов невозмущенной задачи.

## 2 ОСНОВНЫЕ УРАВНЕНИЯ

Построим прозрачный потенциал с одним связанным состоянием при отрицательной энергии  $\lambda$  из функций  $\exp(\pm \kappa n)$ , удовлетворяющих свободному (без потенциала) уравнению при той же энергии. Выберем разностный гамильтониан  $H_-$  в виде произведения сопряженных разностных операторов  $A^+$  и  $A^-$  первого порядка (см. [13])

$$A^- \psi(n) = s(n)\psi(n-1) + r(n)\psi(n); \quad (2)$$

$$A^+ \psi(n) = s(n+1)\psi(n+1) + r(n)\psi(n) \quad (3)$$

плюс константа, равная фиксированному значению энергии  $\lambda = 2 - 2 \cosh(\kappa)$ , при которой мы хотим породить связанное состояние:

$$H_- = A^+ A^- + \lambda. \quad (4)$$

Возьмем в качестве решения свободного разностного уравнения Шредингера с  $v(n) = u(n) = 0$  при отрицательной энергии  $\lambda$  линейную комбинацию:

$$\psi(n) = \exp(\kappa n) + s \exp(-\kappa n); \quad (5)$$

из условия, что коэффициенты в свободном разностном уравнении Шредингера в точках  $n \pm 1$  равны -1, имеем:

$$r(n) = -s^{-1}(n), \quad (6)$$

в из (6) и выбора (см. [7, 11-13]):

$$A^- \psi(n) = 0 \quad (7)$$

следует:

$$r(n) = \sqrt{\frac{\exp(-\kappa(n-1) + c \exp(\kappa(n-1)))}{\exp(-\kappa n) + c \exp(\kappa n)}}; \quad (8)$$

$$s(n) = -\sqrt{\frac{\exp(-\kappa(n) + c \exp(\kappa n))}{\exp(-\kappa(n-1) + c \exp(\kappa(n-1)))}}. \quad (9)$$

Из операторов (3) строим новый гамльтоннан

$$H_+ = A^- A^+ + \lambda, \quad (10)$$

являющийся суперсимметричным партнером для  $H_-$ , в котором отличный от нуля безотражательный (минимально-нелокальный – тридиагональный) "потенциальный комплекс"

$$\begin{aligned} v(n) = s^2(n) + r^2(n) &= \frac{\psi(n)}{\psi(n-1)} + \frac{\psi(n-1)}{\psi(n)} = \\ &= \frac{\exp(-\kappa(n-1) + c \exp(\kappa n))}{\exp(-\kappa n) + c \exp(\kappa(n-1))} + \\ &+ \frac{\exp(-\kappa n) + c \exp(\kappa n)}{\exp(-\kappa(n-1)) + c \exp(\kappa(n-1))}; \end{aligned} \quad (11)$$

$$\begin{aligned} u(n) = 1 + s(n)r(n-1) &= 1 + \frac{\sqrt{\psi(n)\psi(n-2)}}{\psi(n-1)} = 1 + \\ &+ \frac{\sqrt{(\exp(-\kappa n) + c \exp(\kappa n))(\exp(-\kappa(n-2)) + c \exp(\kappa(n-2)))}}{\exp(-\kappa(n-1)) + c \exp(\kappa(n-1))} \end{aligned} \quad (12)$$

является разностным аналогом солитонного потенциала. Форма этих потенциалов  $v(n)$ ,  $u(n)$  показана на рис.3. Нам пока не ясна роль небольшого пространственного сдвига  $v(n)$ ,  $u(n)$  друг относительно друга.

Решения уравнения с гамльтоннаном  $H_+$  получаются из решений свободного движения действием оператора  $A_-$ . На рис.4 изображена функция  $A_- \cos(kn)$ . Безотражательное взаимодействие приводит лишь к относительному фазовому сдвигу невозмущенного косинусоидального решения вдали от области интенсивного притяжения. Уменьшение амплитуды колебаний вблизи начала координат объясняется требованием сохранения потока: ведь в области притяжения безотражательная волна движется быстрее.

Чтобы породить связанное состояние выше непрерывного спектра, используем знакопеременные решения [1]:

$$\psi(n) = (-1)_n \exp(\kappa n) + c(-1)_n \exp(-\kappa n). \quad (13)$$

С такими исходными функциями потенциал  $v(n)$  меняет знак и выгибает зоны вверх (см. рис.5), а потенциал  $u(n)$ , локально расширяющий разрешенную зону, остается таким же, как и при порождении уровня под непрерывным спектром.

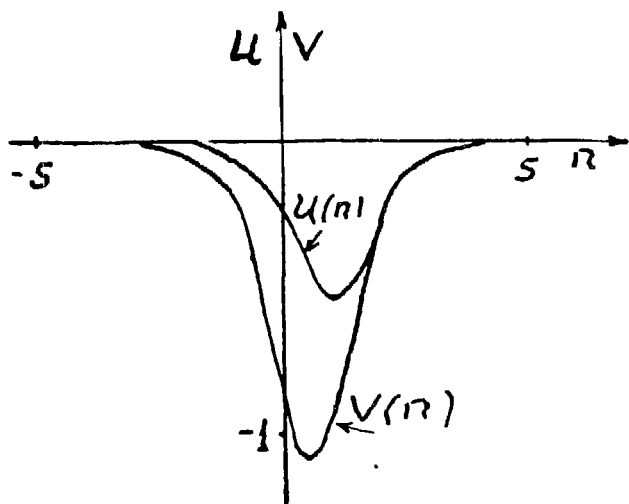


Рис.3. Абсолютно безотражательная система потенциалов  $u(n)$  и  $v(n)$ , являющаяся частным примером обобщения солитонообразных потенциалов, зависящих от непрерывной координаты, на случай разностного уравнения Шредингера (изображены сплошные линии вместо дискретных значений, как и на рис.1,2)

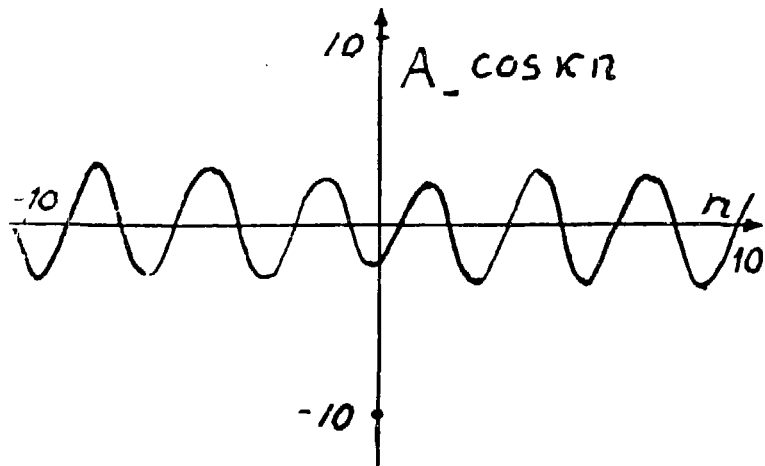


Рис.4. Решение разностного уравнения Шредингера с безотражательным потенциалом типа изображенного на рис.3. В области интенсивного взаимодействия (притяжения) вблизи нуля осцилляции решения становятся чаще, а амплитуда меньше. При удалении от начала координат амплитуды осцилляций с обеих сторон сравниваются

Можно предсказать, что для порождения связанных состояний симметрично выше и ниже разрешенной зоны диагональная часть потенциала вообще не требуется ( $v(n) = 0$ ), а достаточно с помощью  $u(n)$  локально расширить разрешенную зону, образовав солитонообразные ямы: обычную снизу и "перевернутую" в верхней запрещенной зоне (см. рис. 6).

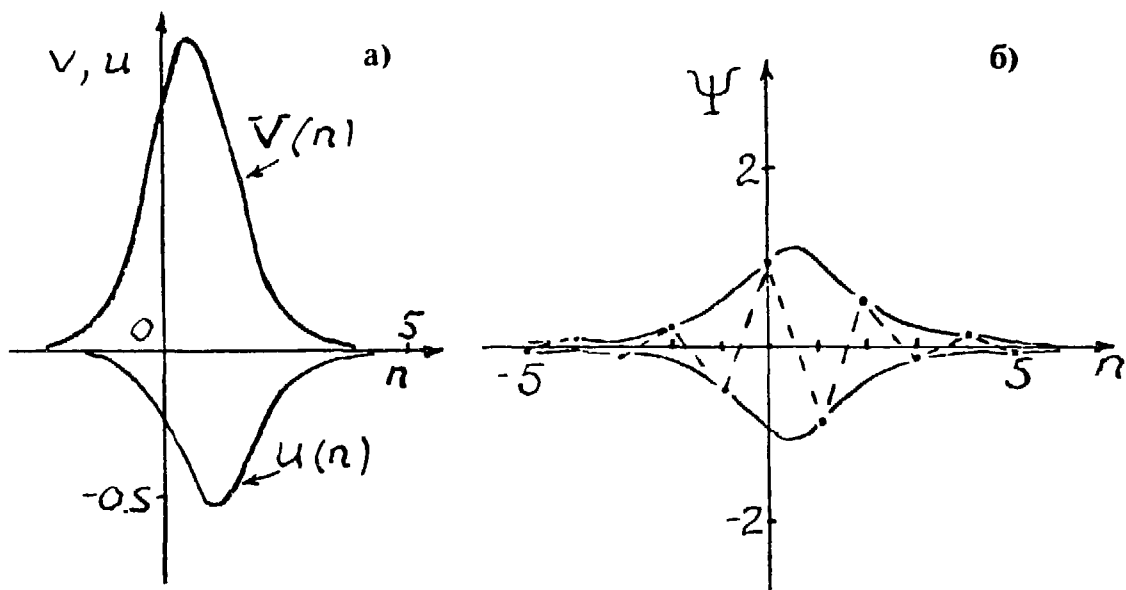


Рис.5. а) Абсолютно безотражательная система потенциалов  $u(n)$  и  $v(n)$  со связанным состоянием выше (!) полосы непрерывного спектра. б) Волновая функция такого связанного состояния (точки, соединенные штриховыми линиями) совпадает по модулю с обычной (сплошные кривые линии, положительные или отрицательные, что неважно для волновой функции) для системы потенциалов на рис.3 и отличается лишь изменением знака в каждой следующей точке

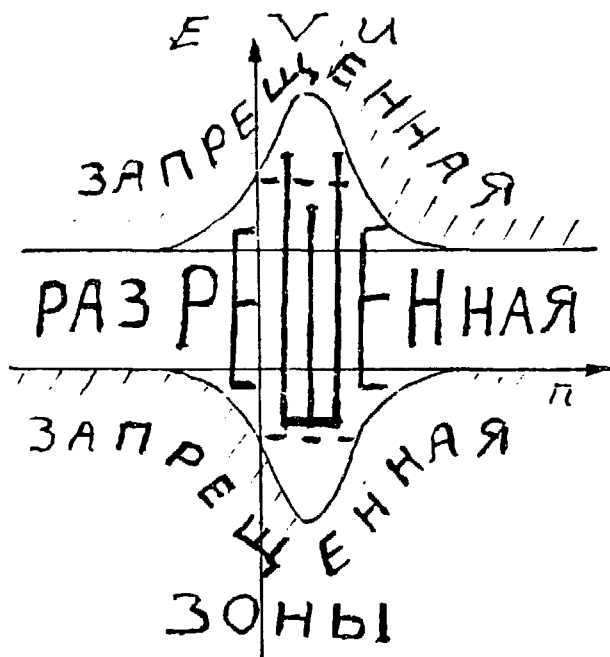


Рис.6. Абсолютно безотражательная система с потенциалом  $v(n)=0$ . Потенциал  $u(n)$  симметрично раздвигает границы разрешенной зоны

При этом волна проходит через область взаимодействия при энергии в центре разрешенной зоны не только без отражения, но и не приобретает даже



фазового сдвига (опускание нижней и подъем верхней границ разрешенной зоны взаимно компенсируют друг друга: хотя нижняя эффективная потенциальная яма углубляется, но уменьшается плотность спектра при растяжении зоны; можно предположить, что то же будет для любых безотражательных потенциалов с одинаковым числом связанных состояний ниже и выше полосы непрерывного спектра). Это подтверждается результатами работы [13]. Такое невозможно в случае непрерывной координаты из-за отсутствия верхней запрещенной зоны (при  $\Delta \rightarrow 0$  верхняя "половина" спектра задачи с дискретной переменной уходит вверх "за бесконечность").

## 2.1 Параллели между методами обратной задачи и суперсимметрии [8]

Мозес с Кеем обобщили формализм обратной задачи на многомерный случай, обходя трудность неравенства числа переменных, от которых зависят данные рассеяния и потенциал, введением нелокальности взаимодействия по углам  $V(r, \theta, \phi, \theta', \phi')$ . Соответствующие точно решаемые модели Мозес предложил в работе [25]. В [26] то же было достигнуто с помощью многоканального формализма.  $V_{lml'm'}(r)$  зависит от четырех дискретных и одной непрерывной переменной, что может отвечать и нелокальной зависимости от углов исходного несимметричного потенциала.

## 3 БЕЗОТРАЖАТЕЛЬНЫЕ ВОЗМУЩЕНИЯ ПЕРИОДИЧЕСКОГО ПОЛЯ

В [1] была выяснена связь возмущений дна бесконечной прямоугольной ямы при изменении нормировочных констант связанных состояний с разрывом непрерывного спектра свободного движения запрещенными зонами (лагунами) при энергиях соответствующих уровней в поле, являющемся периодическим продолжением этих возмущений.

Можно рассматривать возмущения периодического поля, порождающие связанные состояния без искажения свойств непрерывного спектра. Подобно тому как волны свободного движения описываются функциями  $\sin(kx)$ ,  $\cos(kx)$ ,  $\exp(\pm ikx)$ , можно представлять себе волны непрерывного спектра в разрешенных зонах периодического поля как "блоховские синусы, косинусы, экспоненты" и в этих терминах описывать отраженные волны от потенциальных возмущений.

Аналогично безотражательным потенциалам (комбинациям солитонов) получаются в подходах обратной задачи или суперсимметричной квантовой ме-

ханики прозрачные возмущения периодического поля. А роль нелокальных добавок к взаимодействию, исправляющих нарушающие прозрачность изгибы разрешенных зон при потенциальных возмущениях, играют правила шивания возмущенных решений на концах соседних периодов (функции на  $p$ -м периоде сшиваются с функциями на периодах с номерами  $p \pm 1$ , что можно рассматривать как аналогию минимальной нелокальности взаимодействия, т.е. тридиагональности  $u(p)$  и  $v(p)$ , в рассмотренном выше разностном случае).

## 4 ЗАКЛЮЧЕНИЕ

”Нужно писать ... коротко и неясно”.

Наполеон Б.

(Если это и гениально, то не буквально точно: неясность особенно не подходит для науки, хотя на практике часто приходится иметь дело с ”бонапартами от науки” в смысле туманности изложения)

Возможно, что из-за неясности изложения в литературе точно решаемых многочастичных моделей один из авторов (Б.З.) только сейчас узнал о существовании ”прозрачных” мишеней с внутренней структурой (например, частица во внешнем потенциале Морзе, взаимодействующая с другой частицей с помощью потенциала  $1/\sinh^2(x)$ , по утверждению автора диссертации [27] (см. там же ссылки на соответствующую литературу), не возбуждается в процессе рассеяния). Хорошо было бы найти качественное физическое объяснение этому замечательному факту, чтобы обогатить свою квантовую интуицию.

На 11-м мировом конгрессе по матфизике Б.З. познакомился с Трубовицем, книга которого [28] послужила толчком к серии работ в Дубне ”Уроки квантовой интуиции”. Было интересно спросить, зачем математик поместил в своих лекциях рисунки возмущений бесконечной прямоугольной потенциальной ямы, изменяющих энергии и нормировки избранных состояний, да еще без каких-либо комментариев. Ответ был: ”Мне просто захотелось узнать, как выглядят соответствующие формулы (функции и потенциалы)”. Замечательно, что хотя Трубовиц не нашел чего-либо, на что стоило бы обратить специальное внимание на полученных картинках, чувство важности визуализации формул не обмануло его. Позднее эти, а с ними многие другие кван-

товые картинки получили простое физическое объяснение [1,3-6], помогли созданию качественной теории управления спектрами, рассеянием, распадами.

К данной работе имеет отношение только что появившаяся статья [31], где обсуждается теорема Левинсона для движения волн на всей оси, в частности и для случая "полу-связанных" состояний при нулевой энергии.

Один из авторов (Б.З.) благодарен В.М. Чабанову за полезные дискуссии в процессе поиска точных решений разностных уравнений, проф. фон Герамбу за указание на работы [29], где в суперсимметричном подходе, как и в [7], двойное преобразование Имшенецкого-Дарбу (см. обзор Фаддеева [30]) используется для получения формул спектрального управления, выведенных ранее в подходе обратной задачи, а также РФФИ за финансовую поддержку.

## ЛИТЕРАТУРА

- [1] Захарьев Б. Н. *Дискретная и непрерывная квантовая механика, точно решаемые модели (уроки квантовой интуиции II)*. ЭЧАЯ, 1992, 23, №5, с. 1387.
- [2] Infeld L., Hull T.E. The factorization method, *Rev. Mod. Phys.* 1951, 23, p.21-68.
- [3] Захарьев Б.Н. и др. *Точно решаемые модели (уроки квантовой интуиции I)* ЭЧАЯ 21, 914, 1990;
- [4] Захарьев Б. Н., Сузько А. А. *Потенциалы и квантовое рассеяние. Прямая и обратная задачи*. М.:Энергоатомиздат, 1985. Переработанное английское издание: Springer-Verlag, Heidelberg, 1990.
- [5] Захарьев Б.Н. *Уроки квантовой интуиции*, Дубна, ОИЯИ: (в печати, но можно скопировать у автора на дискету ее непрерывно совершенствуемый *LaTeX*-вариант).
- [6] Chabanov V.M., Zakhariev B.N. To the theory of resonances and bound state management. *Phys.Rev.A*, 1994, 49, p.3159. Absolutely transparent multichannel systems. Unexpected peculiarities. *Phys.Lett.B*, 1993, 319, p. 13-15. Развернутые варианты этих кратких сообщений направлены в *Phys.Rev.A*. (первая из этих статей появится в октябрьском номере).
- [7] Березовой В.П., Пашнев А.И. *ТМФ*, 1987, 70, с.146; 1988, 74, с.392-398; Berezhovoy V.P., Pashnev F.I., *Z.Phys.C*, 1991, 51, p. 525-529.
- [8] Андрианов А.А., Борисов Н.В., Иоффе М.В., *ТМФ*, 1984, 61, с. 183; 1987, 72, с. 97; Andrianov A.A., Borisov N.V., Ioffe M.V., *Phys.Lett.A*, 1984, 105, p.19-22; *Письма в ЖЭТФ*, 1984, 39, с. 78-81.
- [9] Pursey D.L. *Phys. Rev.D*, 1986, 33, p. 431, 1048, 2267; 1987, 36, p.1193.
- [10] Sukumar C.V. *J.Phys.A*, 1985, 18, p. 2917-2936, 2937-2955, L57-L61, L697-L701; 1986, 19, p. 2297-2316; 1987, 20, p. 2461-2481.

- [11] Spiridonov V., Vinet L., Zhedanov A.S. *Lett. Math. Phys.* 1993, 29, p. 63; Preprint CRM-1880 LPN-TH-145, Univ.Montreal,1993.
- [12] Zhedanov A.S. *Phys.lett. A*, 1993, 176, p.300.
- [13] Spiridonov V., Zhedanov A.S. Preprint CRM-1928, 1929 Univ.Montreal,1993 (submitted to *Ann.Phys.*); см. здесь же ссылки на более ранние работы.
- [14] Andrianov A.A., Ioffe M.V., Spiridonov V.P. *Phys.Lett.A*, 1993, 174, p.273.
- [15] Case K.M., Chui S.C., Lau C.W., *J.Math.Phys.* 1973, 14, p.594.
- [16] Case K.M., Кас M.J. *J.Math.Phys.* 1973, 14, p. 594.
- [17] Гусейнов Г.С. *Мат.Заметки*, 1978, 23, с.709; 1982, 32, с.737; *ДАН СССР*, 1976, 231, с. 1045; 227, с. 1289; *Изв.АН СССР, сер. мат.* 1982, 12, с.365.
- [18] Gladwell G.M.L., Willms M.B. *Inverse Probl.* 1989, 5, p.165.
- [19] Gallinar J.-P., Mattis D.C., *J.Phys.A*, 1985, 18, p.2583.
- [20] Chalband E., Gallinar J.-P., Mata J., *J.Phys.A*, 1986, 19, p. L385.
- [21] Gallinar J.-P. *Phys.Lett. A*, 1984, 103, p.72.
- [22] Mattis D.C. *Rev.Mod. Phys.* 1986, 58, p.361.
- [23] Serdyukova S.I., Zakhariev B.N. *Phys.Rev. A*, 1992, 46, p.58; 1993, 47, N5, p.3518.
- [24] Сердюкова С.И. Препринт ОИЯИ P11-92-434, Дубна, 1992
- [25] Moses H.E. *Lect.Notes Phys.* 1979, 130, p.260.
- [26] Plekhanov E.B., Suzko A.A., Zakhariev B.N. *Ann.Phys.* 1982, 39, N5, с. 313-319.
- [27] Иноземцев В.И. "Интегрируемые одномерные системы многих взаимодействующих частиц", докторская диссертация, ОИЯИ, Дубна, 1994.
- [28] Poshel J., Trubowitz E. *Inverse Spectral Theory*", v.130. *Pure and Appl.Math.* NY, Acad. Press, 1987.
- [29] Baye D. *Phys.Rev.Lett.* 1987, 58, p. 2738; *J.Phys.A*, 1987, 20, p.5529; *Proc. Inverse Problems*, p. 127, *Bad Honnef 1993*, Springer, 1994
- [30] Фаддеев Л.Д. *УМН*, 1959, 14, вып.4, с.55-82.
- [31] Sassoli de Bianchi M., *J.Math.Phys.* 1994, 35, (6), p.2719.

Рукопись поступила в издательский отдел  
17 августа 1994 года.